

·论著·

新生鼠缺氧缺血性脑损伤 S-100 NSE mRNA 和蛋白水平变化

王兴河,秦梅,樊绍曾,曾纪骅

(复旦大学医学院儿科医院新生儿科,上海 200032)

[摘要] 目的 研究缺氧缺血性脑损伤(HIBD)后血和脑脊液中 S-100 蛋白(S-100)、神经元特异性烯醇化酶(NSE)水平的变化及其与脑细胞死亡数的相关性,并探讨这些蛋白质水平变化的机制。方法 采用 7 d 龄 SD 大鼠 HIBD 模型,应用放射免疫方法动态观察 HIBD 血液和脑脊液中 S-100, NSE 水平的变化,用 RT-PCR 的技术和免疫组织化学的方法动态观察 HIBD 后不同时间点脑组织中 S-100, NSE mRNA 和蛋白水平表达的变化。结果 HI 后血液中 24 h, 48 h S-100 分别为 $(1.205 \pm 0.183) \mu\text{g/L}$ 和 $(1.235 \pm 0.097) \mu\text{g/L}$, NSE 分别为 $(3.97 \pm 0.228) \text{ng/ml}$ 和 $(3.76 \pm 0.234) \text{ng/ml}$, 对照组 S-100 和 NSE 分别为 $(0.645 \pm 0.05) \mu\text{g/L}$ 和 $(3.15 \pm 0.164) \text{ng/ml}$ 。脑脊液中 24 h, 48 h S-100 分别为 $(1.28 \pm 0.031) \mu\text{g/L}$, $(1.32 \pm 0.097) \mu\text{g/L}$, NSE 分别为 $(7.15 \pm 0.717) \text{ng/ml}$, $(4.29 \pm 0.144) \text{ng/ml}$, 对照组 S-100 和 NSE 分别为 $(0.68 \pm 0.059) \mu\text{g/L}$ 和 $(3.42 \pm 0.322) \text{ng/ml}$ 。血液和脑脊液中 S-100, NSE 在 24~48 h 与各自对照组比较都有明显增加($P < 0.01$),同时其水平的变化和脑细胞死亡数呈正相关。NSE mRNA 转录高峰出现在缺氧缺血后 24 h,而 S-100 mRNA 高峰在 48 h。HIBD 后不同时间点脑组织 S-100 蛋白的表达阳性面积的变化是随时间变化逐渐增加(12~96 h)。NSE 表达的阳性面积随 HIBD 时间延长呈进行性减少($P < 0.01$)。结论 S-100, NSE 能作为缺氧缺血性脑损伤的标志物,在缺氧缺血后 24~48 h 为取标本合适时间。血液和脑脊液中 S-100 水平的升高,不单纯是脑组织损伤时漏出所致,还与转录和翻译水平的增加有关;而血和脑脊液 NSE 水平的升高主要是由脑组织损伤漏出。

[关键词] 缺氧缺血性脑损伤; S-100 蛋白; 神经元特异性烯醇化酶; 新生大鼠

[中图分类号] R-332 [文献标识码] A [文章编号] 1008-8830(2000)06-0381-05

Changes of the Expression of the mRNA and Protein Level of S-100 and NSE after Hypoxic-ischemic Brain Damage in Newborn Rats

WANG Xing-He, QIN Mei, FAN Shao-Zeng, ZENG Ji-Hua

Department of Neurology, Children's Hospital, Medical Center of Fudan University, Shanghai 200032, China

Abstract: **Objective** To evaluate the relationship between changes of cerebrospinal fluid (CSF) or blood S-100 protein (S-100), neuron specific enolase (NSE) levels and the severity of hypoxic-ischemic encephalopathy (HIE), and to explore the mechanism of changes of these protein levels. **Methods** Seven-day postnatal SD rats were used. Their serial blood and CSF S-100 and NSE were measured by radioimmunoassay. By using the RT-PCR technique the expression of mRNA for S-100 and NSE in the brain tissue at different points of time after HI injury was tested. Immunohistochemical assay was used to investigate the changes of the expression of S-100 and NSE at the protein level. **Results** The values of S-100, NSE were $(1.205 \pm 0.183) \mu\text{g/L}$ and $(3.97 \pm 0.228) \text{ng/ml}$ respectively at 24 hours and $(1.235 \pm 0.097) \mu\text{g/L}$, $(3.76 \pm 0.234) \text{ng/ml}$ respectively at 48 hours in the blood, were $(1.28 \pm 0.031) \mu\text{g/L}$,

[收稿日期] 2000-04-21; [修回日期] 2000-09-12

[基金项目] 国家“九五”攻关课题,专题合同编号:96-904-06-04

[作者简介] 王兴河(1962-),男,博士,主治医师

(7.15 ± 0.717) $\mu\text{g}/\text{ml}$ respectively at 24 hours and (1.32 ± 0.097) $\mu\text{g}/\text{L}$, (4.29 ± 0.144) $\mu\text{g}/\text{ml}$ respectively at 48 hours in the CSF after HI injury. The values of S-100, NSE were increased significantly in both the blood and CSF samples during 24~48 hrs after HI injury than in the control group ($0.645 \pm 0.05 \mu\text{g}/\text{L}$, $3.15 \pm 0.164 \mu\text{g}/\text{ml}$ and $0.68 \pm 0.059 \mu\text{g}/\text{L}$, $3.42 \pm 0.322 \mu\text{g}/\text{ml}$ respectively). The increment corresponded well with death cell counts in the brain after HI injury; a peak of mRNA expression of NSE emerged at 24 hours after HI injury, while S-100 mRNA occurred at 48 hours. The positive area of the expression of S-100 at the protein level increased progressively during 12~96 hrs, but the expression of NSE decreased significantly with the lapse of time. **Conclusions** S-100 and NSE are sensitive markers for hypoxic-ischemic brain damage(HIBD). The appropriate time for sample collection is 24~48 hrs after HI injury. The mechanism of S-100 level increase in the blood and CSF after HI injury is not only due to the leakage from damaged brain cells but also through a high expression of S-100 mRNA and S-100 protein, while the elevation of NSE in the blood and CSF was mainly due to the leakage from neuronal damage.

Key words: Hypoxic-ischemic encephalopathy (HIE); S-100 protein (S-100); Neuron specific enolase (NSE); Neonatal rat

新生儿缺氧缺血性脑病(Hypoxic-Ischemic Encephalopathy, HIE)是新生儿期死亡和致残重要疾病之一,寻找能早期判断新生儿HIE脑损伤的严重程度的特异性标志物有十分重要的临床意义,有学者报道^[1~6]脑缺血或脑创伤时血液和脑脊液中S-100蛋白(S-100)、神经元特异性烯醇化酶(NSE)水平有一定变化。本实验研究新生鼠脑缺氧缺血(HI)S-100, NSE水平变化的规律、评价其对HIBD的诊断价值并探索它们水平变化的机制。

1 材料与方法

1.1 材料

新生7d SD大鼠,平均体重 $14.5 \pm 2 \text{ g}$,雌雄各半,共288只,由上海医科大学实验动物部提供;S-100放免Kit瑞典AB Sangtec Medical公司产品,NSE放免Kit法国CIS Bio International公司产品;S-100生物素化单抗IgG及ABC试剂盒美国Vector公司产品;NSE单抗试剂盒丹麦Dako公司产品;引物设计由中科院细胞所上海生工生物技术工程公司合成。引物序列:NSE:(1)5'-TCGAGGACATCCCAGCCATCA-3',(2)3'-GGTGCATGGTGCTGTGATG-5',产物长度244 bp;S-100:(1)5'-GAGCTGGAGAAGGCCATGGTTG-3',(2)3'-TCAAAGAACTCATGACAGGCTGTGG-5',产物长度262 bp。

1.2 方法

1.2.1 HIBD模型制备 乙醚吸入麻醉后,双线结扎左侧颈总动脉,恢复4 h后给吸入8%O₂和92%N₂混合气体2 h,在造模后6 h,12 h,48 h,72 h,96 h 6个时间点采取血液、脑脊液测S-100, NSE

水平和脑组织S-100, NSE检测(每组6只);又在造模的即刻,2,4,6,12,24,48,72,96 h检测脑组织S-100, NSE mRNA表达的变化(每组8只)。

1.2.2 检测方法 血液和脑脊液S-100, NSE用放射免疫法测定;脑组织S-100, NSE mRNA检测,用RT-PCR技术;脑组织S-100, NSE阳性细胞用免疫组化ABC法。S-100单抗工作液稀释度1:100, NSE单抗工作液稀释度1:200;S-100, NSE的定量测定用雷卡显微镜及配套处理系统和计算机分析系统,用 10×40 物镜测定 $30 \mu\text{m}^2$ 面积内阳性面积。

1.2.3 结果分析与统计学处理 用POMS-4, POMS-15医学统计软件。两组比较采用t检验。

2 结果

2.1 缺氧缺血(HI)后血液和脑脊液S-100, NSE水平变化

如表1所示S-100在HI后12 h已明显升高。48 h达高峰,96 h与对照组差异无显著性意义;NSE水平变化见表2,在HI后24,48 h与对照组比较差异有显著性意义。

2.2 HI后血和脑脊液中S-100, NSE水平变化与脑死亡细胞数的相关性

S-100在HI后12~72 h与脑细胞死亡数呈显著正相关,NSE在HI后12~48 h有显著正相关。见表3。

2.3 HI后不同时间脑组织S-100 mRNA及NSE mRNA表达的变化

以扫描辉度值表示,如表4所示S-100 mRNA在HI 6 h表达明显增加,48 h达高峰,96 h与对照

组差异无显著意义;而 NSE mRNA 在 HI 2 h 与对照组比有显著性差异,24 h 达高峰,96 h 差异无显著性。

2.4 脑组织中 S-100, NSE 检测

HI 后以未结扎侧作对照组,结扎侧的 S-100 在胶质细胞内阳性表达在实验观察期间随着 HI 后时间的延长而逐渐增强(表 5)。HI 后 12 h S-100 阳性细胞只有扫描强度的增强,而细胞形态无明显变化。24~48 h 阳性细胞体增大,突起明显的数目增多,至 72~96 h 几乎全部阳性细胞的胞体增大及突起(图 1,2);而 NSE 在神经元内阳性表达随着 HI 后时间的延长而逐渐减弱。(表 6,图 3,4)

表 3 血液、脑脊液 S-100, NSE 水平变化与脑细胞死亡数的相关性

Table 3 Degree of relationship between changes of S-100, NSE both in the blood or CSF and the number of dead brain cells (r , $n=6$)

	脑脊液		血液	
	S-100 r	NSE r	S-100 r	NSE r
6h	0.711	0.53	0.613	0.59
12h	0.926	0.925	0.705	0.90
24h	0.891	0.789	0.78	0.78
48h	0.72	0.88	0.76	0.84
72h	0.88	0.70	0.86	0.57
96h	0.376	0.60	0.49	0.124

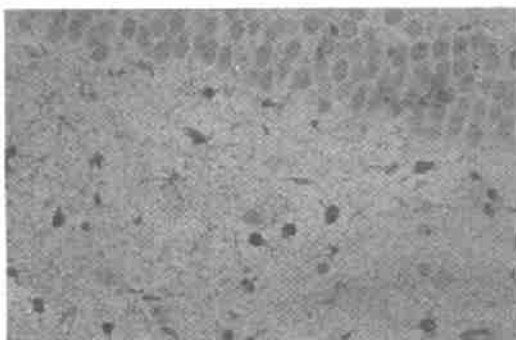


图 1 对照组 72 h 海马区胶质细胞 S-100 蛋白呈阳性反应 ($\times 400$)

Figure 1 Positive immunohistochemical stain of astrocyte S-100 protein in the hippocampus of the control group

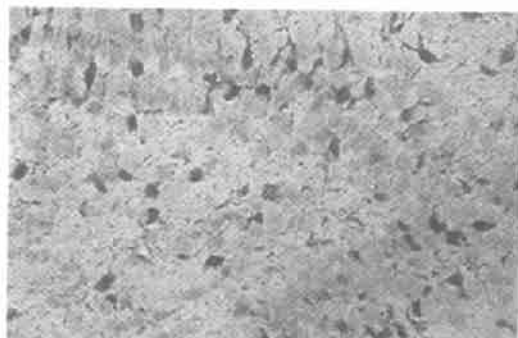


图 2 HI 后 72 h 损伤组海马区胶质细胞 S-100 蛋白免疫组化染色阳性面积明显增加 ($\times 400$)

Figure 2 Increase in positive immunohistochemical stain of astrocyte S-100 protein in the hippocampus 72 h after HI injury

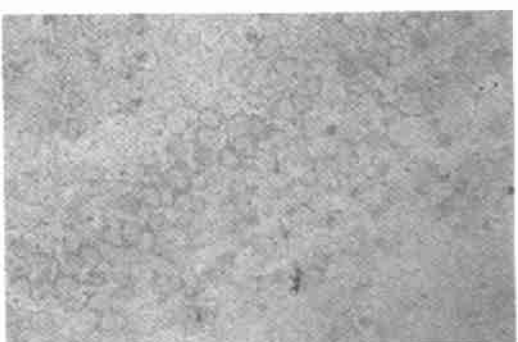


图 3 对照组 24 h 海马区神经元 NSE 免疫组化可见神经元胞浆中 NSE 阳性反应 ($\times 400$)

Figure 3 Immunohistochemical stain of neuron NSE in the hippocampus of the control group, and positive NSE stain in neuron cytoplasm

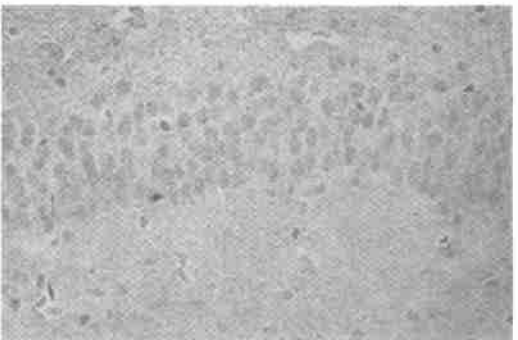


图 4 HI 后 24 h 损伤组海马神经元 NSE 免疫组化染色阳性反应明显减弱 ($\times 400$)

Figure 4 Decrease in positive immunohistochemical stain of neuron NSE in the hippocampus 24 h after HI injury

表1 HI后血液、脑脊液S-100水平变化

Table 1 Changes of S-100 level in the blood and CSF after HI injury ($\bar{x} \pm s$, $\mu\text{g/L}$)

	对照	HI组					
		6 h	12 h	24 h	48 h	72 h	96 h
血	0.645 ± 0.050	0.70 ± 0.060	0.976 ± 0.196	1.205 ± 0.183	1.235 ± 0.097	0.838 ± 0.061	0.718 ± 0.077
t		1.584	3.952	7.106	12.68	5.547	1.836
P		>0.05	<0.05	<0.01	<0.01	<0.01	>0.05
脑脊液	0.68 ± 0.059	0.72 ± 0.065	1.01 ± 0.185	1.28 ± 0.031	1.32 ± 0.097	0.85 ± 0.078	0.76 ± 0.060
t		1.151	4.172	7.181	13.75	4.216	0.2396
P		>0.05	<0.01	<0.01	<0.01	<0.01	>0.05

注:S-100在血液和脑脊液水平变化显示正相关 $r = 0.098$, $P < 0.01$

表2 HI后血液、脑脊液NSE水平变化

Table 2 Changes of NSE level in the blood and CSF after HI injury ($\bar{x} \pm s$, ng/L)

	对照	HI组					
		6 h	12 h	24 h	48 h	72 h	96 h
血	3.15 ± 0.164	3.21 ± 0.164	3.44 ± 0.306	3.97 ± 0.228	3.76 ± 0.234	3.53 ± 0.379	3.24 ± 0.142
t		0.523	1.880	6.225	4.586	2.104	0.896
P		>0.05	>0.05	<0.01	<0.01	>0.05	>0.05
脑脊液	3.42 ± 0.322	3.46 ± 0.230	3.63 ± 0.381	7.15 ± 0.717	4.29 ± 0.144	3.89 ± 0.42	3.76 ± 0.24
t		0.226	1.053	11.62	3.855	2.183	2.095
P		>0.05	>0.05	<0.01	<0.01	>0.05	>0.05

注:NSE在血液和脑脊液水平变化显示正相关 $r = 0.842$, $P < 0.05$

表4 HI后脑组织S-100 mRNA和NSE mRNA表达变化

Table 4 Changes of the expression of S-100 mRNA and NSE mRNA in brain tissues after HI injury ($\bar{x} \pm s$)

	对照	HI组							
		0 h	2 h	4 h	6 h	12 h	24 h	48 h	72 h
S-100 mRNA									
扫描辉度值	14228 ± 1810	15861 ± 2639	16598 ± 2216	16855 ± 2338	17950 ± 2416	25471 ± 2654	28989 ± 2945	31453 ± 3492	18506 ± 2703
t	1.14	2.02	2.17	4.10	8.57	10.46	10.75	3.22	2.09
P	>0.05	>0.05	>0.05	<0.01	<0.01	<0.01	<0.01	0.05	>0.05
NSE mRNA									
扫描辉度值	18966 ± 1275	20765 ± 1282	22618 ± 2086	24149 ± 2553	27868 ± 3450	34107 ± 3814	55489 ± 3828	38069 ± 4183	28170 ± 2149
t	2.43	3.56	4.44	5.93	9.22	22.17	10.70	9.02	0.50
P	>0.05	<0.05	<0.05	<0.01	<0.01	<0.01	<0.01	<0.01	>0.05

表5 HI后脑组织切片S-100阳性面积的变化

Table 5 Changes of S-100 positive area of brain tissue slices after HI injury ($\bar{x} \pm s$, $/30\mu\text{m}^2$)

	对照	HI组					
		6 h	12 h	24 h	48 h	72 h	96 h
对照侧	1.18 ± 0.16	1.09 ± 0.12	1.15 ± 0.14	1.10 ± 0.18	1.12 ± 0.14	1.10 ± 0.15	
结扎侧	1.65 ± 0.52	2.38 ± 0.14	4.91 ± 0.62	6.01 ± 0.56	7.54 ± 0.50	9.27 ± 0.63	
t	2.064	7.270	14.48	20.12	29.74	30.42	
P	>0.05	<0.01	<0.01	<0.01	<0.01	<0.01	

表 6 HI 后脑组织切片 NSE 阳性面积的变化
Table 6 Changes of positive NSE area of brain tissue slices after HI injury ($\bar{x} \pm s$, $/30\mu\text{m}^2$)

对照	HI 组					
	6 h	12 h	24 h	48 h	72 h	96 h
对照侧	19.65 \pm 2.65	20.32 \pm 3.05	20.04 \pm 3.22	20.35 \pm 3.69	21.07 \pm 2.85	20.35 \pm 3.42
结扎侧	19.25 \pm 2.92	14.54 \pm 2.81	9.62 \pm 2.31	6.23 \pm 1.26	4.12 \pm 0.57	2.71 \pm 0.35
t	0.2554	3.379	6.248	8.847	14.16	12.56
P	0.803	<0.01	<0.01	<0.01	<0.01	<0.01

3 讨论

S-100 蛋白是一种酸性钙结合蛋白,它主要集中在星形胶质细胞内,参与了神经细胞的生长、分化和代谢的调节^[9];NSE 是糖原醇解途径的关键酶,定位于神经元内^[7~9]。因此,它们水平的变化可反映神经组织不同成分的损伤。本研究表明,HI 后 S-100, NSE 先后均升高,以 S-100 蛋白升高较早出现,持续亦较久。本研究又表明,S-100, NSE 水平变化与脑细胞死亡数有较好的相关性,因此 S-100, NSE 浓度升高可反映中枢神经系统缺氧缺血损害的情况,可作为一种量化的特异性生化指标用于 HIBD 的诊断。根据升高的高峰时间,在 HI 后 24~48 h 取样本为合适。

为什么 HIBD 时血和 CSF 中 S-100, NSE 水平会升高呢?本研究观察到脑的缺氧缺血后不论 S-100 或 NSE 的 mRNA 表达均增加。说明它们在转录的水平有增加,而进一步研究发现 S-100 蛋白在脑损伤后 24 h 阳性细胞胞体增大,有突起,随损害时间延长这种细胞渐增多,到 72 h 损伤侧脑组织 S-100 阳性细胞几乎均为有突起的胞体增大的星形胶质细胞,S-100 阳性表达面积/单位面积内与对照侧相比较从损伤后 12 h 开始增加,48~72 h 增加幅度较大,到 96 h 为止仍有继续增加之势,S-100 阳性细胞面积的增多与脑损害的程度和损害的时间长短呈正相关,这表明缺氧缺血型损害可使 S-100 翻译的水平增加;而 NSE 阳性表达面积/单位面积内却从损伤后 12 h 开始减少,24 h 明显减少,染色由强转弱。HI 后脑组织虽有 NSE 转录水平增高,但翻译水平非但未有增加反见 NSE 阳性细胞面积的减少,且与脑损害的程度和损害时间长短有关。

故我们认为血和 CSF S-100 水平的增高不仅仅有脑组织损伤漏出的因素,尚与其转录、翻译水平的增高、S-100 合成增多有关,而 NSE 在血和 CSF 中水平的增加则主要是由于脑组织损伤的漏出所致。

[参 考 文 献]

- Bakay RA, Sweeney KM, Wood JH. Pathophysiology of cerebrospinal fluid in head injury. Part 2. Biochemical markers for central nervous systems trauma [J]. Neurosurgery, 1986, 18 (3): 376~382.
- Horn M, Seger F, Schlot W. Neuron-specific enolase in gerbil brain and serum after transient cerebral ischemia [J]. Stroke, 1995, 26 (2): 290~297.
- Hardemark HG, Ericsson N, Kotwica Z, et al. S-100 protein and neuron-specific enolase in cerebrospinal fluid after experimental traumatic focal ischemic brain damage [J]. J Neurosurg, 1989, 71 (5): 727~731.
- Hardemark HG, Persson L, Bolander H, et al. Neuron-specific enolase is a marker of cerebral ischemia and infarct size in rat cerebrospinal fluid [J]. Stroke, 1988, 19 (9): 1140~1144.
- Barone FC, Clark RK, Price WJ, et al. Neuron-specific enolase increases in cerebral and systemic circulation following focal ischemia [J]. Brain Res, 1993, 623 (1): 77~82.
- Johnsson P. Markers of cerebral ischemia after cardiac surgery [J]. J Cardiothorac Vasc Anesth, 1996, 10 (1): 120~126.
- Aurell A, Rosengren LE, Karisson B, et al. Determination of S-100 and glial fibrillary acidic protein concentrations in cerebrospinal fluid after brain infarction [J]. Stroke, 1991, 22 (10): 1254~1258.
- Hatfield RH, McKernan RM. CSF neuron-specific enolase as a quantitative marker of neuronal damage in a rat stroke model [J]. Brain Res, 1992, 577 (2): 249~252.
- Henrike S, Hilmar WP, Reiber H, et al. Neuron specific enolase concentrations in blood as a prognostic parameter in cerebrovascular diseases [J]. Stroke, 1994, 24 (3): 558~565.

(本文编辑:黄榕)